

Europäisches Patentamt  
European Patent Office  
Office européen des brevets



(11) EP 1 228 998 A2

(12) EUROPÄISCHE PATENTANMELDUNG

(43) Veröffentlichungstag:  
07.08.2002 Patentblatt 2002/32

(51) Int Cl.7: B81B 3/00

(21) Anmeldenummer: 01125720.1

(22) Anmeldetag: 27.10.2001

(84) Benannte Vertragsstaaten:  
AT BE CH CY DE DK ES FI FR GB GR IE IT LI LU  
MC NL PT SE TR  
Benannte Erstreckungsstaaten:  
AL LT LV MK RO SI

(72) Erfinder:  
• Fischer, Frank  
72810 Gomaringen (DE)  
• Hein, Peter, Dr.  
72770 Reutlingen (DE)  
• Graf, Eckhard  
72810 Gomaringen (DE)

(30) Priorität: 03.02.2001 DE 10104868

(71) Anmelder: ROBERT BOSCH GMBH  
70442 Stuttgart (DE)

(54) Mikromechanisches Bauelement sowie ein Verfahren zur Herstellung eines mikromechanischen Bauelements

(57) Die Erfindung geht aus von einem mikromechanischen Bauelement mit einem Substrat, mindestens einer strukturierten Schicht (5), wobei in der strukturierten Schicht (5) mindestens eine Funktionsstruktur (7) gebildet ist, und einer Kappe (1), die die Funktionsstruktur (7) überdeckt, wobei zwischen der Kappe (1) und der Funktionsstruktur (7) mindestens ein Hohlraum (7a) gebildet ist, und eine Verbindungsschicht (2) die Kappe (1) mit der strukturierten Schicht (5) verbindet,

sowie von einem Verfahren zur Herstellung eines mikromechanischen Bauelements nach der Gattung des betreffenden unabhängigen Patentanspruchs.

Um ein kompaktes und solides Bauelement zu erhalten, ist erfindungsgemäß vorgesehen, daß die Verbindungsschicht (2) durch ein anodisch bondbares Glas, d.h. ein Bondglas, gebildet ist, das insbesondere eine Dicke im Bereich von 300 nm bis 100 µm, vorzugsweise im Bereich von 300 nm bis 50 µm, aufweist.

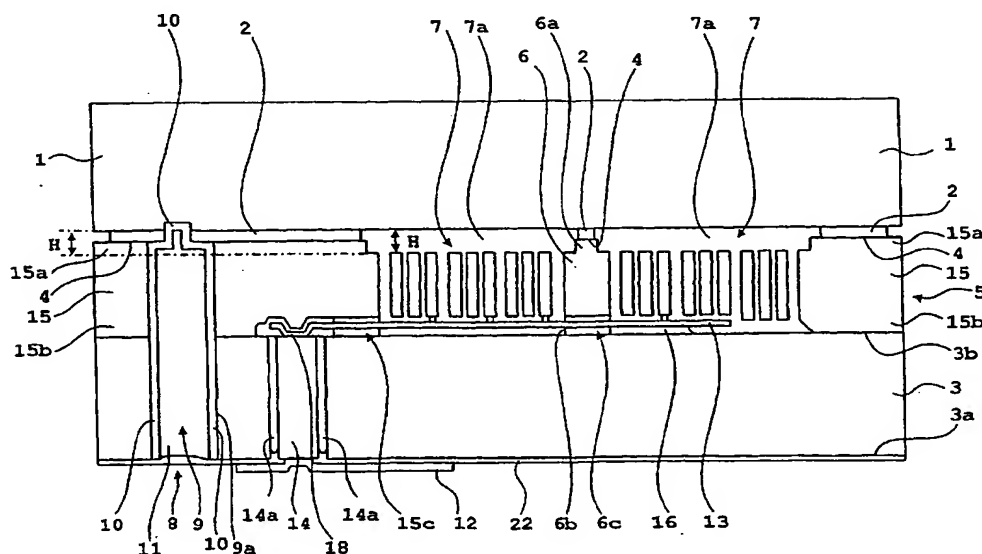


Fig. 1

EP 1 228 998 A2

## Beschreibung

### Stand der Technik

[0001] Die Erfindung geht aus von einem mikromechanischen Bauelement und einem Verfahren zur Herstellung eines mikromechanischen Bauelements nach der Gattung der betreffenden unabhängigen Patentansprüche. In der DE 195 37 814 A1 wird der Aufbau eines Sensor-Schichtsystems und ein Verfahren zur hermetischen Verkappung von Sensoren in Oberflächenmikromechanik beschrieben.

### Vorteile der Erfindung

[0002] Das erfindungsgemäße Bauelement sowie das erfindungsgemäße Verfahren mit den kennzeichnenden Merkmalen der betreffenden unabhängigen Patentansprüche hat demgegenüber insbesondere den Vorteil, daß ein kompaktes und langzeitstabiles Bauelement kostengünstiger hergestellt werden kann. Durch die in den abhängigen Patentansprüchen aufgeführten Maßnahmen sind vorteilhafte Weiterbildungen und Verbesserungen des Bauelements und des Verfahrens nach den betreffenden unabhängigen Patentansprüchen ermöglicht.

[0003] Das erfindungsgemäße Bauelement zeichnet sich ggü. bekannten Bauelementen durch einen robusten Schichtaufbau und durch eine deutliche Reduzierung der für das Verkappen benötigten Fläche aus, was aufgrund der Flächeneinsparung mit einer signifikanten Kostenreduzierung einhergeht.

[0004] Ein wesentlicher Aspekt der Erfindung besteht darin, daß eine Kappe die Funktionsstrukturen überdeckt, wobei die Kappe mit der strukturierten Schicht mittels eines anodisch bondbaren Glases bzw. eines Bondglases verbunden ist. Bevorzugt weist die durch das anodisch bondbare Glas erfindungsgemäß gebildete Verbindungsschicht eine Dicke im Bereich von 300 nm bis 100 µm, insbesondere eine Dicke im Bereich von 300 nm bis 50 µm, auf. Durch das anodisch bondbare Glas läßt sich in einfacher Weise eine mechanisch sehr stabile Verbindung zwischen der Kappe und der strukturierten Schicht bei ggü. dem Stand der Technik deutlich verringerter Verbindungsfläche herstellen. Bei einer Massenfertigung, bei der das erfindungsgemäße mikromechanische Bauelement mehr als tausendfach auf einem Wafer bzw. Substrat gebildet wird, ergibt sich demzufolge eine ganz erhebliche Flächeneinsparung bzw. erheblich verbesserte Ausnutzung eines Wafers.

[0005] Indem erfindungsgemäß bevorzugt ein anodisch bondbares Glas mit einer Dicke im Bereich von 300 nm bis 100 µm gewählt oder eigens aus einem dickeren Glas-Wafer hergestellt wird, lassen sich die erfindungsgemäß auf einem Wafer gebildeten mikromechanischen Bauelemente mit jeweils einem einzigen Sägeschnitt durch den gesamten Schichtaufbau des mikromechanischen Bauelements vereinzeln. Dies ist mög-

lich, weil ein herkömmliches Sägeblatt zum Aussägen der mikromechanischen Bauelemente aus dem Wafer auch das anodisch bondbare Glas der genannten Dicke ohne Beschädigung des Sägeblatts oder des Bauelements durchtrennen kann. Beim Stand der Technik war es bisher notwendig mit einem ersten Sägeblatt einen Sägeschnitt bis zur Verbindungsschicht vorzunehmen, mit einem zweiten Sägeblatt die Verbindungsschicht zu durchtrennen und nachfolgend erneut mit dem ersten Sägeblatt das mikromechanische Bauelement vollständig zu durchtrennen bzw. zu vereinzeln.

[0006] Bei einer bevorzugten Ausführungsform der Erfindung wird ein Bondglas verwendet, das über eine definierte Ionenkonzentration verfügt, um dieses anodisch bonden zu können, was nachfolgend näher erläutert werden wird. Als Bondgläser haben sich insbesondere Gläser bewährt, die Alkalisilikat und/oder Borsilikat aufweisen.

[0007] Ein weiterer wesentlicher Aspekt der Erfindung besteht darin, in dem Substrat des mikromechanischen Bauelements einen Anschlußbereich zur externen Kontaktierung der Funktionsstrukturen vorzusehen. Bevorzugt wird der Anschlußbereich durch einen durch Gräben gebildeten Isolationsrahmen gegenüber dem Substrat elektrisch isoliert. Der Anschlußbereich kann unmittelbar neben oder auch unter einem Stützelement in dem Substrat vorgesehen sein, um die für das mikromechanische Bauelement erforderliche Substratfläche bzw. dessen Volumen, insbesondere aus Kostengründen, zu minimieren.

[0008] Bekannt ist die externe Kontaktierung der Funktionsstrukturen über eine in der Kappe vorgesehene trichterförmige Öffnung, die sich von den Funktionsstrukturen weg ausdehnt. An einer solchen externen Kontaktierung ist insbesondere von Nachteil, daß der beim Sägen bzw. Vereinzeln der mikromechanischen Bauelemente aus dem Wafer entstehende Sägeschlamm in die trichterförmige Zugangsöffnung gelangt. Die trichterförmige Zugangsöffnung in der Kappe läßt sich nur mit erheblichem Aufwand von dem Sägeschlamm reinigen. Nicht ausgewaschene Reste des Sägeschlammes führen zu Nebenschlüssen, was zu einem Ausfall des betreffenden mikromechanischen Bauelements führen kann.

[0009] Indem der Anschlußbereich zur externen Kontaktierung der Funktionsstrukturen in erfindungsgemäßer Weise in dem Substrat geschaffen wird, läßt sich insbesondere bei einer Substratdicke im Bereich von ca. 80 µm bis 150 µm, vorzugsweise ca. 80 µm bis 100 µm, das Verfahren des Plasmaätzens bzw. Trenchätzens verwenden. Hiermit können schmale, tiefe Gräben zur Bildung eines Isolationsrahmens hergestellt werden, die sich weitgehend senkrecht von der Substratunterseite bis zur Funktionsschicht erstrecken. Die Wahl der Dicke des Substrats wird sich insbesondere an der erforderlichen mechanischen Stabilität des mikromechanischen Bauelements und an der maximal möglichen Tiefe der Gräben orientieren, bis zu der schmale Gräben,

z.B. durch Trenchätzen, hergestellt werden können. Diese Gräben bzw. der durch die Gräben gebildete Isolationsrahmen wird erfindungsgemäß mit einem Dielektrikum im Bereich der Substratunterseite verschlossen, das den Anschlußbereich, der einen Teil des Substrats bildet, gegenüber dem Substrat elektrisch isoliert.

**[0010]** Einen anderer wesentlicher Aspekt der Erfindung besteht darin, durch Ätzen ein Sackloch zu bilden, das weitgehend senkrecht durch das Substrat, die strukturierte Schicht, und die Verbindungsschicht bis zur Kappe verläuft, wobei der Boden des Sacklochs im Bereich der Kappe und die Öffnung des Sacklochs an der Seite des Substrats vorgesehen ist, die von den Funktionsstrukturen abgewandt ist. Bevorzugt wird das Sackloch bzw. der Durchgang auf seiner Bodenfläche und an seinen Wandflächen mit einer Leitschicht versehen, so daß eine elektrische Verbindung zwischen der Kappe, der strukturierten Schicht und dem Substrat gegeben ist. Bevorzugt wird das Sackloch bzw. der Durchgang nach der Herstellung der Leitschicht vollständig mit einer Füllschicht aufgefüllt. Indem die Leitschicht erfindungsgemäß auf ein definiertes elektrisches Potential gelegt wird, vorzugsweise Masse, werden Potentialunterschiede zwischen der Kappe, der strukturierten Schicht und dem Substrat und damit potentielle Störspannungen vermieden.

**[0011]** Falls die mechanische Stabilität des erfindungsgemäßen mikromechanischen Bauelements unzureichend ist, kann zwischen dem Substrat und der Kappe mindestens ein Stützelement vorgesehen werden, wobei das Stützelement vorzugsweise durch Ätzen der Funktionsschicht, vorzugsweise weitgehend in der Mitte des von der Kappe abgedeckten Hohlraums, gebildet wird.

**[0012]** Ein weiterer wesentlicher Aspekt der Erfindung besteht in der Verwendung eines Verfahrens zur Herstellung eines mikromechanischen Bauelements bei der die strukturierte Schicht, die Funktionsstrukturen aufweist, mit einer Kappe über einer Verbindungsschicht verbunden wird. Das Material der Verbindungsschicht wird bevorzugt derart gewählt, daß durch das Anlegen einer elektrischen Spannung zwischen dem Substrat und der Kappe des mikromechanischen Bauelements eine chemische Verbindung sowohl zwischen der Verbindungsschicht und der strukturierten Schicht als auch zwischen der Verbindungsschicht und der Kappe, vorzugsweise insbesondere im Randbereich des zwischen der Kappe und den Funktionsstrukturen gebildeten Hohlraums, herbeigeführt wird (anodisches Bonden). Bevorzugt wird hierbei zumindest der Verbindungsbereich erwärmt. Die Verbindung zwischen der Kappe und der der Kappe zugewandten Seite der Verbindungsschicht erfolgt bevorzugt in einem ersten Schritt und die Verbindung zwischen der der strukturierten Schicht und der der strukturierten Schicht zugewandten Seite der Verbindungsschicht erfolgt in einem separaten, zweiten Schritt.

**[0013]** Bevorzugt werden die Verbindungsstellen vor

dem anodischen Bonden chemisch und/oder mechanisch so vorbehandelt, daß sie eine geringe Oberflächenrauheit aufweisen, die vorzugsweise etwa 40- nm oder weniger beträgt.

5 Schließlich zeichnet sich das erfindungsgemäße Bauelement durch eine niedrige Topographie aus, wodurch beispielsweise der Einsatz der sogenannten Flip-Chip-Technik bei der Montage des Bauelements ermöglicht wird.

10

Zeichnungen

**[0014]** Die Erfindung wird nachfolgend anhand von nicht notwendigerweise maßstäblichen Zeichnungen näher erläutert, wobei gleiche Bezugszeichen gleiche oder gleichwirkende Schichten oder Teile bezeichnen. Es zeigen:

Fig. 1 einen Querschnitt eines erfindungsgemäßen Bauelements mit einem Substrat, einer strukturierten Schicht und einer Kappe; und

20

Fig. 2 - 10 ein erfindungsgemäßes Verfahren zur Herstellung des in Fig. 1 dargestellten Bauelements.

25

**[0015]** In Fig. 1 ist ein Bauelement, beispielsweise ein Beschleunigungssensor, im Querschnitt gezeigt. Auf einem Substrat 3 ist eine strukturierte Schicht 5 angeordnet, in der Funktionsstrukturen 7 und Stützstrukturen gebildet sind. Die Funktionsstrukturen 7 sind in dem konkreten Ausführungsbeispiel in der strukturierten Schicht 5 als ineinandergreifende Kämme bzw. Interdigitalstrukturen mit feststehenden und ausgelenkbaren Elektroden ausgebildet. Die Stützstrukturen werden durch einen Rahmen 15, der die Funktionsstrukturen 7 umgibt, und ein Stützelement 6 gebildet, das innerhalb des Rahmens 15 im Bereich der Funktionsstrukturen 7 angeordnet ist und zur mechanischen Stabilität des Schichtsystems beiträgt. In dem konkreten Ausführungsbeispiel der Fig. 1 ist lediglich ein Stützelement 6 dargestellt, das zwischen den beiden gezeigten Funktionsstrukturen 7 angeordnet ist. In Abhängigkeit von der erforderlichen mechanischen Stabilität des Bauelements kann jedoch auch kein Stützelement, ein einziges Stützelement 6 oder mehrere, voneinander beabstandete Stützelemente im Bereich der Funktionsstrukturen vorgesehen sein. Zweckmäßigerweise werden das Stützelement oder die Stützelemente so angeordnet, daß die Bewegungsfreiheit der Funktionsstrukturen 7 nicht beeinträchtigt ist.

30

35

40

45

50

55

**[0016]** Eine etwa planflächige Kappe 1 ist über eine Verbindungsschicht 2 mit den Stützstrukturen 6 und 15 der strukturierten Schicht 5 verbunden und überdeckt die Funktionsstrukturen 7. Die Stützstrukturen 6 und 15 sind im Vergleich zu den Funktionsstrukturen 7 erhöht ausgebildet (vgl. Fig. 3) und überragen die Funktions-

strukturen 7 vorzugsweise um etwa 4 - 10 µm, so daß sich Hohlräume 7a im Bereich der Funktionsstrukturen 7 ausbilden bzw. zwischen den Funktionsstrukturen 7 und der Kappe 1 aufspannen.

[0017] Alternativ oder ergänzend kann auf der Unterseite der Kappe, d.h. auf der Seite der Kappe, die den Funktionstrukturen 7 zugewandt ist, eine Vertiefung im Bereich der Funktionstrukturen vorgesehen werden, so daß die Vertiefung den Hohlraum bzw. die Hohlräume 7a über den Funktionstrukturen 7 ganz oder teilweise bildet (nicht dargestellt).

[0018] Die Verbindungsschicht 2 ist im Bereich der Funktionsstrukturen 7 entfernt, so daß sich die Spannhöhe H der Hohlräume 7a entsprechend vergrößert. Zweckmäßigerweise ist die Spannhöhe H der Hohlräume 7a stets dergestalt, daß eine zerstörende Auslenkung der Funktionsstrukturen 7 in vertikaler Richtung, d.h. der z-Richtung, unterbunden ist. Die Gesamtspannweite der Hohlräume 7a in lateraler Richtung liegt bevorzugt zwischen etwa 100 und 500 µm. Spannweiten bis zu mehreren mm sind jedoch ebenfalls möglich.

[0019] An ersten, der Kappe 1 zugeordneten Enden 6a und 15a des Stützelements 6 und des Rahmens 15 sind Verbindungsflächen 4 zur Verbindung mit der Verbindungsschicht 2 gebildet. Die Verbindungsflächen 4 weisen eine Breite von weniger als 150 µm und eine hohe Oberflächengüte bzw. eine niedrige Oberflächenrauheit auf, die vorzugsweise etwa 40 nm oder weniger beträgt. Das Stützelement 6 und der Rahmen 15 sind mit ihren zweiten Enden 6b und 15b mit dem Substrat 3 verbunden.

[0020] Zwischen dem Substrat 3 und der strukturierten Schicht 5 sind Leiterbahnen 13 vorgesehen, die zur externen Kontaktierung der Funktionstrukturen 7 dienen. Die Leiterbahnen 13 sind im nahen Bereich unterhalb der Funktionsstrukturen 7 plaziert und verlaufen durch Durchführungen 6c und 15c der Stützstrukturen 6 und 15, wobei zwei Opferschichten 16 und 17 (siehe Fig. 2) die Leiterbahnen 13 gegenüber den Stützstrukturen 6 und 15 isolieren.

[0021] Zur externen Kontaktierung der Funktionsstrukturen 7 ist zudem im Substrat 3 ein Anschlußbereich 14, weitgehend unmittelbar neben den Funktionsstrukturen 7, gebildet, der an der der strukturierten Schicht 5 zugewandten Oberseite 3b des Substrats 3 in unmittelbarem Kontakt zu einer Kontaktzunge 18 der Leiterbahnen 13 steht. Der Anschlußbereich 14 ist vollständig von Gräben 14a umgeben, die einen Isolationsrahmen bilden. Die Gräben 14a erstrecken sich von der Substratunterseite bis zur Substratoberseite, so daß der hierdurch gebildete Anschlußbereich 14 gegenüber dem Substrat 3 elektrisch isoliert ist. Die Gräben 14a weisen bevorzugt ein hohes Aspektverhältnis, d.h. eine große Tiefe und eine geringe laterale Abmessung, auf. Auf dem Anschlußbereich 14 ist an seiner der strukturierten Schicht 5 abgewandten Rückseite 3a des Substrats 3 eine Metallisierung 12 aufgebracht, die bevorzugt eine Leiterbahn und ein Kontaktpad zur Befesti-

gung von Bonddrähten bildet, über die eine externe elektrische Verbindung zu den Funktionstrukturen 7 hergestellt wird. Die Metallisierung 12 ist an der Rückseite 3a des Substrats 3 durch eine dielektrische Schicht 22 gegenüber dem Substrat 3 isoliert.

[0022] Die Metallisierung 12 und damit die Leiterbahn und das Kontaktpad erstrecken sich bevorzugt vom Anschlußbereich 14 horizontal in Richtung der Funktionsstrukturen 7, wodurch die für die Herstellung des Bauelements erforderliche Wafer- bzw. Substratfläche in kostensparender Weise verringert werden kann.

[0023] Bei einer bevorzugten Ausführungsform (nicht dargestellt) ist der Anschlußbereich 14 zur externen Kontaktierung der Funktionstrukturen 7 weitgehend mitig unter dem Stützelement 6 hergestellt. Dies führt zu einer Flächeneinsparung der für die Herstellung des Bauelements benötigten Wafer- bzw. Substratfläche, was mit einer kostensparenden Verringerung des Volumens des Bauelements einhergeht. Die Packungsdichte wird erhöht.

[0024] Des weiteren ist zwischen dem Substrat 3, der strukturierten Schicht 5 und der Kappe 1 eine leitende Verbindung 8 vorgesehen, um Potentialunterschiede zwischen dem Substrat 3 und der Kappe 1 zu vermeiden. Die leitende Verbindung 8 umfaßt ein Sackloch bzw. einen Durchgang 9, der sich außerhalb des Bereichs der Leiterbahnen 13 durch das Substrat 3, den Rahmen 15 und in einen Teil der Kappe 1 hinein erstreckt. Eine Leitschicht 10, insbesondere eine Metallschicht, die auf dem Boden und den Wandflächen 9a des Durchgangs 9 aufgebracht ist, verbindet das Substrat 3, die strukturierte Schicht 5 und die Kappe 1. Eine Füllschicht 11 verschließt den Durchgang 9 an der Rückseite 3a des Substrats 3 und ebnet die Topographie ein.

[0025] Anhand der Fig. 2 bis 10 ist nachfolgend eine mögliche Prozeßfolge zur Herstellung des in Fig. 1 dargestellten Bauelements im Detail beschrieben. In Fig. 2 ist der Schichtaufbau des Bauelements gezeigt, wie er sich vor einer Tiefenstrukturierung der strukturierten Schicht 5 darstellt. Auf dem Substrat 3, das bevorzugt aus einkristallinem Silizium hergestellt ist, ist eine erste Opferschicht 16 aufgebracht, die beispielsweise aus einer oder mehreren SiO<sub>2</sub>-Schichten bestehen kann. Auf der ersten Opferschicht 16 sind Leiterbahnen 13 abgeschieden, die aus polykristallinem Silizium bestehen, das zwecks einer möglichst großen Leitfähigkeit ausreichend stark dotiert ist. Die erste Opferschicht 16 wird vor dem Aufbringen der Leiterbahnen 13 vorstrukturiert, wobei in die erste Opferschicht 16 eine Kontaktöffnung für die entsprechend geformte Kontaktzunge 18 für jede der Leiterbahnen 13 geätzt wird. Jede der Kontaktzungen 18 grenzt unmittelbar an das Substrat 3 an und steht in direkter Verbindung mit dem später jeweils im Substrat 3 gebildeten Anschlußbereich 14. Die beschriebene Herstellung der Anschlußbereiche und deren jeweilige externe Kontaktierung (nicht dargestellt) erfolgt in gleicher Weise wie die Herstellung und externe Kontak-

tierung des explizit dargestellten Anschlußbereichs 14.

**[0026]** Auf den Leiterbahnen 13 ist eine zweite Opferschicht 17 abgeschieden, die wie die erste Opferschicht 16 als Isolationsschicht dient und aus  $\text{SiO}_2$  besteht. Bevorzugte Abscheidungsverfahren zur Erzeugung der zweiten Opferschicht 17 sind CVD-Verfahren, wie unter Verwendung von Tetra-Ethyl-Ortho-Silicat (TEOS). Auf der zweiten Opferschicht 17 wird dann eine dünne Start-Poly-Silizium-Schicht 5a, d.h. eine polykristalline Siliziumschicht mit der Funktion einer Keim- bzw. Nukleationsschicht, abgeschieden. Auf die Start-Poly-Si-Schicht 5a wird mit einem Epitaxie-Verfahren eine polykristalline Siliziumschicht, welche die nachfolgend gebildete strukturierte Schicht 5 darstellt, aufgebracht, wobei die Start-Poly-Si-Schicht in der oberen polykristallinen Schicht aufsteht. Die Oberfläche der oberen polykristallinen Schicht 5 wird in einem weiteren Prozeßschritt planarisiert. Dies geschieht durch einen chemisch-mechanischen Polierprozeß (CMP), mit dem eine Oberflächenrauheit erreicht wird, bei der die Oberflächen sich gut mit der Verbindungsschicht 2 durch Anlegen einer Differenzspannung verbinden bzw. anodisch bonden lassen. Die Oberflächenrauheit beträgt hierzu vorzugsweise ca. 2 nm bis ca. 50 nm.

**[0027]** Die Opferschichten 16 und 17 werden zweckmäßigerweise vor dem Abscheiden der Start-Poly-Si-Schicht 5a strukturiert. Dabei werden die erste und die zweite Opferschicht 16 und 17 in Bereichen 16a, in denen in einem späteren Prozeßschritt die Stützstrukturen 6 und 15 gebildet werden, teilweise oder vollständig entfernt, so daß die Stützstrukturen 6 und 15 direkt mit dem Substrat verbunden sind. In der zweiten Opferschicht 17 werden Kontaktöffnungen 17a zur Kontaktierung der Funktionsstrukturen 7 mit den Leiterbahnen 13 gebildet.

**[0028]** Wie in Fig. 3 dargestellt ist, wird mit einem CVD-Verfahren eine Oxidmaske 20 auf die Verbindungsflächen 4 aufgebracht, wobei sich die Verbindungsflächen 4 im Bereich der später gebildeten Stützstrukturen 6 und 15 befinden. Die aus der Gasphase abgeschiedene Oxidmaske 20 dient aufgrund ihrer guten  $\text{Si}/\text{SiO}_2$  Selektivität als Passivierschicht und gewährleistet, daß die Verbindungsflächen 4 bei einem späteren Plasma-Ätzschritt oder chemisch-mechanischen Polierprozeß (CMP) nicht angegriffen werden. Mit einem Trockenätzverfahren oder mit einem weiteren CMP-Schritt werden in Bereichen 7 der strukturierten Schicht 5, in denen später die Funktionsstrukturen 7 strukturiert werden planflächige Ausnehmungen 21 geätzt oder geformt. Die Oxidmaske 20 wird anschließend entfernt.

**[0029]** Alternativ oder ergänzend (nicht dargestellt) kann bzw. können in der Unterseite der Kappe eine oder mehrere Ausnehmungen zur vollständigen oder teilweisen Bildung des Hohlraums über den Funktionsstrukturen, beispielsweise durch Plasmaätzen, erzeugt werden.

**[0030]** Bei dem oben beschriebenen Prozeßschritt werden die Stützstrukturen 6 und 15 in bezug auf ihre

Höhe (und ggf. in bezug auf ihre Breite) gegenüber den Funktionsstrukturen 7 vorstrukturiert, indem die strukturierte Schicht 5 in den Bereichen der Funktionsstrukturen 7 um einen definierten Betrag abgedünnt wird.

5 **[0031]** Alternativ wird zur Erhöhung der Stützstrukturen 6 und 15 lediglich die Verbindungsschicht mit einer entsprechend größeren Dickenabmessung verwendet (Fall nicht dargestellt).

10 **[0032]** Sind in der Unterseite der Kappe eine oder mehrere Ausnehmungen vorgesehen, so kann diese bzw. können diese so strukturiert werden, daß die Ausnehmung bzw. die Ausnehmungen eine oder mehrere Stützelemente aufweist, die zu ein oder mehreren Stützelementen der strukturierten Schicht 5 komplementär sind (nicht dargestellt).

15 **[0033]** In einem weiteren, in Fig. 4 dargestellten Prozeßschritt werden die Funktionsstrukturen 7 und das Stützelement 6 mit einem Tiefenstrukturierungsverfahren (Trench-Ätzen) strukturiert. Die zweite Opferschicht 17 und teilweise auch die erste Opferschicht 16 werden unterhalb von den Funktionsstrukturen 7 mit einem Gasphasenätzverfahren entfernt, so daß auslenkbare Strukturen entstehen.

20 **[0034]** In einem zentralen Schritt erfolgt die hermetisch dichte Verkappung des Bauelement- bzw. Sensorschichtsystems, wie in Fig. 5 gezeigt ist. Hierbei wird, wie nachfolgend detailliert beschrieben ist, die Kappe 1, die aus einkristallinem Silizium besteht, mit den Verbindungsflächen 4 der Stützstrukturen 6 und 15 über die Verbindungsschicht 2 chemisch verbunden.

30 **[0035]** Die Verbindungsschicht 2 besteht aus einem etwa 10 - 50  $\mu\text{m}$  dicken Silikatglas, das vorzugsweise durch chemische und/oder mechanische Behandlung aus einem dickeren, z. B. 500  $\mu\text{m}$  dicken, Silikatglas-Wafer hergestellt wird. Das Silikatglas weist eine definierte Konzentration an ein- oder mehrwertigen Kationen, wie  $\text{Na}^+$  oder  $\text{B}^{3+}$ , und eine entsprechende Konzentration an schwachgebundenen Sauerstoffatomen aufweist. Besonders geeignete Silikate sind Alkali- und Borsilikate.

40 **[0036]** Um eine hohe Oberflächengüte zwecks optimaler Fügeverbindung zwischen der Kappe 1 und der Verbindungsschicht 2 herstellen zu können, wird die Kappe 1 an der der Verbindungsschicht 2 zugewandten Seite chemisch-mechanisch poliert. Die Oberflächenrauheit beträgt nach dem CMP-Schritt typischerweise unter 2 nm. Dann wird die Kappe 1 mit der Verbindungsschicht 2 durch Anlegen einer Spannungsdifferenz zwischen der Kappe und der Verbindungsschicht 2, typischerweise ca. - 150 bis - 1000 V, wobei die Kappe 1 an Masse liegt, flächig verbunden.

50 **[0037]** Zusätzlich kann während des Verbindungsschritts eine erhöhte Temperatur von etwa 350 - 450  $^{\circ}\text{C}$  auf die Verbindungsschicht 2 einwirken, um die Beweglichkeit der Metall- oder Bor-Kationen zu erhöhen. Die reduzierte Kationen-Konzentration kann beispielsweise durch eine nachträgliche Temperatureinwirkung ausgeglichen werden. Alternativ oder ergänzend wird die Ver-

sorgungsspannung nach dem Verbinden der Kappe 1 mit der Verbindungsschicht 2 umgekehrt, um die entstandene, reduzierte Konzentration der Kationen an der Grenzfläche der Verbindungsschicht 2 zur Kappe 1 auszugleichen.

**[0038]** Alternativ kann die Verbindungsschicht 2 in Form einer Schmelze auf die Kappe 1 aufgebracht werden, wobei die Schmelz- bzw. Erweichungstemperatur je nach Art des verwendeten Silikatglases in einem Bereich von etwa 600 - 800 °C liegt. In diesem Temperaturbereich findet ebenfalls eine chemische Verbindung zwischen der Kappe 1 und der Verbindungsschicht 2 statt. Nach dem Erstarren wird die Verbindungsschicht 2 wie nachfolgend beschrieben bearbeitet.

**[0039]** Nach der Verbindung der Kappe 1 mit der Verbindungsschicht 2 wird die Verbindungsschicht 2 gemäß der vorstehenden ersten oder zweiten Alternativen an der den Verbindungsflächen 4 zugewandten Seite grobmechanisch abgeschliffen bzw. gedünnt und anschließend mit einem CMP-Schritt poliert, um eine gute Fügeverbindung mit den Verbindungsflächen 4 der strukturierten Schicht 5 herzustellen.

**[0040]** Nach dieser Bearbeitung weist die Verbindungsschicht 2 eine Dicke von etwa 10 - 50 µm und eine Oberflächenrauheit von 2 nm oder weniger auf.

**[0041]** Bei einer weiteren bevorzugten Alternative wird die Verbindungsschicht durch Sputtern von Silikatglas, wie insbesondere Elektronenstrahl-Sputtern, aufgebracht. Zuvor wird die Kappe thermisch oxidiert, wodurch eine ca. 1 bis 2 µm dicke Silizium-Oxidschicht gebildet wird, auf der die Verbindungsschicht durch Sputtern abgeschieden wird. Die Silizium-Oxidschicht verbessert die elektrische Spannungsfestigkeit beim anodischen Bonden. Bevorzugte Schichtdicken für eine durch Sputtern gebildete Verbindungsschicht (Alkali- oder Borsilikat) liegen im Bereich von etwa 300 nm bis 2 µm.

**[0042]** Die Verbindungsschicht 2 wird allen drei vorgenannten Alternativen im Bereich der Funktionsstrukturen 7 entfernt oder strukturiert, um die Spannhöhe H der Hohlräume 7a zu vergrößern.

**[0043]** Die Verbindungsschicht 2 wird zudem im Bereich des später gebildeten Durchgangs 9 der leitenden Verbindung 8 entfernt. In einem weiteren Prozessschritt erfolgt das Verbinden der Verbindungsflächen 4 der strukturierten Schicht 5 mit der Verbindungsschicht 2. Die Verbindungsflächen 4 und die Verbindungsschicht 2 werden zueinander justiert und durch die angelegte Versorgungsspannung und/oder unter Temperatureinwirkung chemisch verbunden (anodisches Bonden). Hierzu wird an die Kappe 1 eine im Verhältnis zum Bonden der Kappe 1 mit der Verbindungsschicht 2 geringere Spannung an die Kappe angelegt, um eine übermäßige Auslenkung der Funktionsstrukturen 7 infolge der Bondspannung zu verhindern. Dies können typischerweise - 100 V an der Kappe 1 sein, wobei das Substrat 3 an Masse liegt.

**[0044]** Beim Verkappen wird bevorzugt ein Gas mit ei-

nem Druck zwischen ca. 1 mbar und 1 bar in die Hohlräume 7a eingeschlossen, wobei über den Druck die Dämpfung der Bewegung der Funktionsstrukturen 7 festgelegt wird. Ergänzend kann auch nach dem Verkappen über eine verschleißbare Öffnung eine Flüssigkeit in die Hohlräume 7a eingebracht werden, wobei deren Viskosität das Maß der Dämpfung bestimmt, oder auch ein Gas oder auch ein weiteres Gas.

**[0045]** Die Grunddotierung des n-dotierten Substrats 3 ist typischerweise größer als ca.  $5 \cdot 10^{15}/\text{cm}^3$  und der ohmsche Widerstand kleiner als ca. 1 Ohm\*cm (niederohmig). Die Dotierung der n-dotierten Funktionsschicht 5 liegt bei etwa  $10^{17}/\text{cm}^3$  bis  $10^{19}/\text{cm}^3$ , wodurch ein niederohmiger externer Kontakt mit den Funktionsstrukturen 7 ermöglicht ist.

**[0046]** Mit dem oben beschriebenen anodischen Bondverfahren wird eine hermetisch dichte Verbindung zwischen der Kappe 1 und der Verbindungsschicht 2 einerseits sowie zwischen der Verbindungsschicht 2 und den Verbindungsflächen 4 bzw. der strukturierten Schicht 5 andererseits hergestellt. Ein besonderer Vorteil des obigen Verfahrens besteht darin, daß relativ kleine Verbindungsflächen 4 benötigt werden. Beispielsweise beträgt die Breite der Verbindungsflächen nur etwa 30 bis 150 µm.

**[0047]** Nach dem Verbinden der Kappe 1 mit den Verbindungsflächen 4 erfolgt das mechanische Rückschleifen der Rückseite 3a des Substrats 3 (vgl. Fig. 6). Dies geschieht bevorzugt in mehreren Schritten: Zuerst wird die Rückseite 3a des Substrats 3 mit einer Diamantschleifscheibe großer Körnung grobabrassiv geschliffen und anschließend mit einer Diamantschleifscheibe kleiner Körnung mit entsprechend geringerem Abtrag abgeschliffen. Alternativ kann das Abschleifen auch in einem einzigen Schritt erfolgen. Die Oberflächenrauheit beträgt nach dem Feinschliff etwa 0,1 - 1 µm und die Tiefe von Kristallversetzungen beläuft sich auf etwa 3 - 5 µm.

**[0048]** Mit einem CMP-Prozeß werden die Kristallversetzungen entfernt und die Oberflächengüte weiter verbessert. Der Abtrag beträgt hierbei etwa 10 µm. Alternativ können mittels sogenanntem Spin-Etching die Kristallversetzungen im Substrat 3 entfernt werden. Der Abtrag beträgt hierbei typischerweise 5 bis 10 µm. Nach anschließendem CMP-Planarisieren beträgt der Abtrag dann noch typischerweise 3 µm.

**[0049]** Die Restdicke K des Substrats 3 ist so gewählt, daß die statische Festigkeit des Schichtsystems gewährleistet ist, wobei die Stützelemente 6 die statische Festigkeit erheblich verbessern. Insbesondere bei kleinen Spannweiten kann auf Stützelemente verzichtet werden. Typischerweise ist die Restdicke K des Substrats 3 etwa 80 - 150 µm.

**[0050]** In einem weiteren Prozessschritt, vgl. Fig. 6, werden mit einem Tiefenstrukturierungsverfahren (Trench-Ätzen) Gräben 14a für den Anschlußbereich 14 gebildet. Des weiteren wird der Durchgang 9 durch ein bekanntes Tiefenätzverfahren gebildet, wobei sich der

Durchgang 9 durch das Substrat 3, die strukturierte Schicht 5 und zum Teil in die Kappe 1 hinein erstreckt.

**[0051]** Wie in Fig. 7 dargestellt ist, wird die Leitschicht 10 auf die Bodenfläche und die Wandflächen 9a des Durchgangs 9 bzw. Sacklochs aufgebracht, indem sie auf der Rückseite 3a des Substrats 3 abgeschieden wird. Die Leitschicht 10, die vorzugsweise eine Metallschicht ist, stellt eine niederohmige Verbindung des Substrats 3 mit der Kappe 1 und der strukturierten Schicht 5 her. Anschließend wird in den Durchgang 9 bzw. das Sackloch eine Füllschicht 11 eingebracht, die den Durchgang 9 verschließt und die Oberflächentopographie einebnet. Bei der Füllschicht 11 handelt es sich bevorzugt um eine Silizium-Oxid-Schicht. Diese wird bevorzugt durch ein sogenanntes Spin-On-Verfahren bzw. durch Einbringen und Aushärten eines Füllstoffs, der Silizium-Oxid enthält, hergestellt.

**[0052]** Mit einem Plasmaätzverfahren wird, wie in Fig. 8 gezeigt ist, die Füllschicht 11 rückgeätzt. Anschließend wird die Leitschicht 10 auf der Rückseite 3a des Substrats 3 naßchemisch entfernt. Dabei ist darauf zu achten, daß die Leitschicht 10 im Bereich der Gräben 14a vollständig entfernt wird und im Bereich des Durchgangs 9 nicht zu stark überätzt wird, damit sich keine unerwünschten Topographien ausbilden.

**[0053]** Entsprechend Fig. 9 wird die dielektrische Schicht 22 mit einem CVD-Verfahren auf die Rückseite 3a des Substrats 3 aufgebracht. Die dielektrische Schicht 22 dient als Isolationsschicht und isoliert die nachfolgend aufgebrachte Metallisierung 12 gegenüber dem Substrat 3. Im Bereich des Anschlußbereichs 14 ist in der dielektrischen Schicht 22 eine Kontaktöffnung 23 zur externen Kontaktierung des Anschlußbereichs 14 gebildet. Anschließend wird, wie in Fig. 10 dargestellt ist, die Metallisierung 12 auf die dielektrische Schicht 22 und über die Kontaktöffnung 23 auf den Anschlußbereich 14 aufgebracht und vorzugsweise naßchemisch zu einer Leiterbahn bzw. einem Anschluß wird strukturiert, wobei sich das Anschlußpad vorzugsweise in Richtung der Mitte des Bauelements erstreckt. Hierdurch läßt sich die zur Herstellung des Bauelements benötigte Substratfläche und dessen Volumen kostensparend verringern.

**[0054]** Beispielsweise ist es möglich, Sensor- bzw. Aktuator-Strukturen zusammen mit einer elektronischen Auswerteschaltung (nicht dargestellt) in die Kappe 1 und/oder in die strukturierte Schicht 5 zu integrieren.

**[0055]** Insgesamt zeichnet sich das oben beschriebene Bauelement durch ein kompaktes und robustes Design aus, das die Integration einer Vielzahl von Funktionsstrukturen und zugleich eine ausreichende Bewegungsfreiheit der Funktionsstrukturen gestattet.

**[0056]** Das oben beschriebene Verfahren ermöglicht die Herstellung einer Vielzahl von Bauelementen, die eine hermetisch dichte Verkappung erfordern. Der für die Verkappung bzw. die Verbindungsflächen benötigte ist dabei auf ein Minimum reduziert.

#### [0057] Bezugszeichenliste:

1	Kappe
2	Verbindungsschicht
5	3 Substrat
3a	Rückseite des Substrats
3b	Oberseite des Substrats
4	Verbindungsfläche
5	strukturierte Schicht mit feststehenden Funktionsstrukturen eines Sensors
10	Start-Poly-Si-Schicht
5a	Stützelement
6	erstes Ende des Stützelements (Stützelement)
6a	zweites Ende des Stützelements
6b	Durchführung des Stützelements
15	6c auslenkbare Funktionsstrukturen des Sensors in der strukturierten Schicht 5
7	Hohlraum
7a	leitende Verbindung
8	Durchgang
20	9a Wandfläche
9	10 Leitschicht
9a	11 Füllschicht
10	12 Metallisierung
11	25 13 Leiterbahnen aus niederohmigem Polysilizium
12	14 Anschlußbereich
13	14a Gräben bzw. Isolationsgräben
14	15 Rahmen
14a	15a erstes Ende des Rahmens
15	30 15b zweites Ende des Rahmens
15a	15c Durchführung im Rahmen
15b	16 erste Opferschicht
15c	16a Bereiche der ersten Opferschicht
16	17 zweite Opferschicht
16a	35 17a Kontaktöffnungen der zweiten Opferschicht
17	18 Kontaktzunge
17a	20 Oxidmaske
18	21 Ausnehmung, die einen Teil des Hohlraums 7a bildet
20	40 22 dielektrische Schicht
21	23 Kontaktöffnung der dielektrischen Schicht
22	H Spannhöhe, die durch die Gesamtdicke der Verbindungsschicht 2 und der Tiefe der Ausnehmung 21 bestimmt ist
23	45 K Restdicke des Substrats 3

#### Patentansprüche

- 50 1. Mikromechanisches Bauelement mit
  - einem Substrat (3);
  - mindestens einer strukturierten Schicht (5), wobei in der strukturierten Schicht (5) mindestens eine Funktionsstruktur (7) gebildet ist;
  - einer Kappe (1), die die Funktionsstruktur (7)



überdeckt, wobei zwischen der Kappe (1) und der Funktionsstruktur (7) mindestens ein Hohlraum (7a) gebildet ist;

- einer Verbindungsschicht (2), die die Kappe (1) mit der strukturierten Schicht (5) verbindet,

**dadurch gekennzeichnet,**

**daß** die Verbindungsschicht (2) durch ein anodisch bondbares Glas, d.h. ein Bondglas, gebildet ist, das insbesondere eine Dicke im Bereich von 300 nm bis 100 µm, vorzugsweise im Bereich von 300 nm bis 50 µm, aufweist.

2. Mikromechanisches Bauelement nach Anspruch 1, **dadurch gekennzeichnet, daß** das Bondglas (2) über eine definierte Ionenkonzentration verfügt, wie insbesondere ein Glas, das Alkalisilikat und/oder Borsilikat aufweist.

3. Mikromechanisches Bauelement, insbesondere nach Anspruch 1 oder 2, mit

- einem Substrat (3);
- mindestens einer strukturierten Schicht (5), wobei in der strukturierten Schicht (5) mindestens eine Funktionsstruktur (7) gebildet ist;
- einer Kappe (1), die die Funktionsstruktur (7) überdeckt, wobei zwischen der Kappe (1) und der Funktionsstruktur (7) mindestens ein Hohlraum (7a) gebildet ist;
- einer Verbindungsschicht (2), die die Kappe (1) mit der strukturierten Schicht (5) verbindet,

**dadurch gekennzeichnet,**

das in dem Substrat (3) mindestens ein Anschlußbereich (14) zur externen Kontaktierung der Funktionsstruktur (7) gebildet ist, wobei der Anschlußbereich (14) insbesondere durch einen durch Gräben (14a) gebildeten Isolationsrahmen gegenüber dem Substrat (3) elektrisch isoliert ist.

4. Mikromechanisches Bauelement nach Anspruch 3, **dadurch gekennzeichnet, daß** der Anschlußbereich (14) durch einen Teil des Substrats (3) gebildet ist, wobei das Substrat (3) derart dotiert ist, daß der Anschlußbereich (14) niederohmig ist.

5. Mikromechanisches Bauelement nach einem der Ansprüche 1 bis 4, **dadurch gekennzeichnet, daß** zwischen dem Substrat (3) und der Kappe (1) mindestens ein Stützelement (6) in der strukturierten Schicht (5) vorgesehen ist, das vorzugsweise weitgehend in der Mitte des Hohlraums (7a) angeordnet ist.

6. Mikromechanisches Bauelement nach einem der Ansprüche 3 bis 5, **dadurch gekennzeichnet, daß** das Substrat (3) eine Dicke zwischen ca. 80 µm und 150 µm, vorzugsweise ca. 80 µm bis 100 µm, aufweist.

7. Mikromechanisches Bauelement nach einem der Ansprüche 1 bis 6, **dadurch gekennzeichnet, daß** der Anschlußbereich (14) neben der Funktionsstruktur (7) oder unter dem Stützelement (6) in dem Substrat (3) angeordnet ist.

8. Mikromechanisches Bauelement, insbesondere nach einem der Ansprüche 1 bis 7, mit einem Substrat (3) und einer strukturierten Schicht (5), die zumindest auf einem Teil des Substrats (3) vorgesehen ist und zumindest teilweise von wenigstens einer Kappe (1) überdeckt ist,

**dadurch gekennzeichnet,**

**daß** zwischen der Kappe (1) und dem Substrat (3) eine leitende Verbindung (8) vorgesehen ist, die sich durch die strukturierte Schicht (5) hindurch erstreckt und insbesondere im Bereich einer Rahmenstruktur (15) der strukturierten Schicht (5) angeordnet ist.

9. Mikromechanisches Bauelement nach Anspruch 8, **dadurch gekennzeichnet,**

**daß** die leitende Verbindung (8) durch einen Durchgang (9) bzw. ein Sackloch gebildet ist, auf dessen Bodenfläche und Wandflächen (9a) eine Leitschicht (10) aufgebracht ist, wobei der Durchgang (9) und/oder die Leitschicht (10) vorzugsweise mittels wenigstens einer Isolationsschicht (22) an der der strukturierten Schicht (5) abgewandten Seite (3a) des Substrats (3) abgedeckt ist/sind.

10. Mikromechanisches Bauelement nach Anspruch 3 oder 4,

**dadurch gekennzeichnet,**

**daß** der Anschlußbereich (14) an der der strukturierten Schicht (5) zugewandten Seite (3b) des Substrats (3) in Kontakt zu mindestens einer Leiterbahn (13) steht und an der der strukturierten Schicht (5) abgewandten Seite (3a) des Substrats (3) mit einer Metallisierung (12) versehen ist, wobei zwischen der Metallisierung (12) und dem Substrat (3) mindestens eine Isolationsschicht (22) vorgesehen ist.

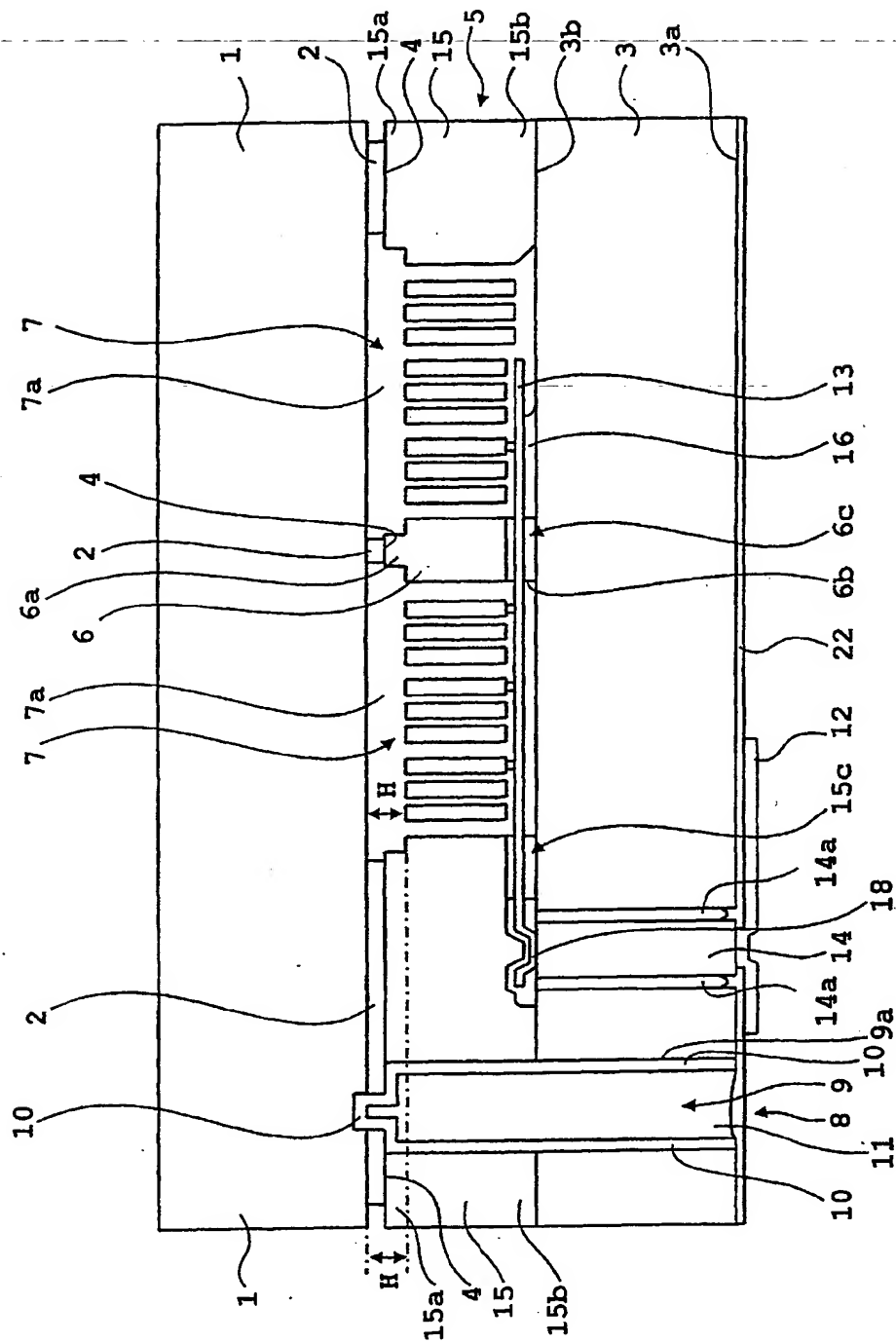
11. Mikromechanisches Bauelement nach einem der Ansprüche 1 bis 10, **dadurch gekennzeichnet, daß** die Kappe (1), das Substrat (3) und die strukturierte Schicht (5) zumindest teilweise aus demselben Material, insbesondere aus Silizium hergestellt sind, wobei die Kappe (1) und das Substrat (3) vorzugsweise aus einkristallinem Silizium und die strukturierte Schicht (5) vorzugsweise aus polykristallinem Silizium hergestellt sind.



12. Verfahren zur Herstellung eines mikromechanischen Bauelements mit wenigstens einer strukturierten Schicht (5), wobei mindestens eine Kappe (1) vorgesehen ist, die die strukturierte Schicht (5) zumindest teilweise überdeckt und mit Bereichen (4) der strukturierten Schicht (5) verbunden ist, **dadurch gekennzeichnet**,  
**daß** zur Verbindung der Kappe (1) mit den Bereichen (4) der strukturierten Schicht (5) eine Verbindungsschicht (2) vorgesehen ist, wobei das Material der Verbindungsschicht (2) derart gewählt wird, daß durch Anlegen einer elektrischen Spannung und/oder unter Temperatureinwirkung eine chemische Verbindung zwischen der Verbindungsschicht (2) und den Bereichen (4) der strukturierten Schicht (5) einerseits und/oder zwischen der Verbindungsschicht (2) und der Kappe (1) andererseits bewirkt wird.
13. Verfahren nach Anspruch 12, **dadurch gekennzeichnet**,  
**daß** die Verbindung der Kappe (1) mit den Bereichen (4) der strukturierten Schicht (5) in zwei oder mehreren Schritten erfolgt, wobei in einem ersten Schritt die Kappe (1) mit der Verbindungsschicht (2) chemisch verbunden wird und in einem weiteren Schritt die Bereiche (4) der strukturierten Schicht (5) mit einer der strukturierten Schicht (5) zugewandten Seite der Verbindungsschicht (2) chemisch verbunden werden, wobei etwa gleichzeitig mit dem letztgenannten Verbindungsschritt ein Gas oder Vakuum in mindestens einen zwischen der Kappe (1) und der strukturierten Schicht (5) gebildeten Hohlraum (7a) eingeschlossen wird.
14. Verfahren nach Anspruch 12 oder 13, **dadurch gekennzeichnet**,  
**daß** für die Verbindungsschicht (2) ein Glas oder ein glasartiges Material mit definierter Ionenkonzentration gewählt wird, wie insbesondere ein Alkali- oder Borsilikat.
15. Verfahren nach einem der Ansprüche 12 bis 14, **dadurch gekennzeichnet**,  
**daß** die Bereiche (4) der strukturierten Schicht (5) Verbindungsflächen (4) aufweisen, wobei die Verbindungsflächen (4) und die der Verbindungsschicht (2) zugewandte Seite der Kappe (1) vor dem Verbinden chemisch und/oder mechanisch behandelt werden, so daß sie eine vergleichsweise niedrige Oberflächenrauheit aufweisen, die vorzugsweise etwa 2 bis 40 nm beträgt.
16. Verfahren nach einem der Ansprüche 12 bis 15, **dadurch gekennzeichnet**,  
**daß** die Verbindungsschicht (2) vor dem Verbinden mit den Verbindungsflächen (4) der strukturierten Schicht (5) chemisch und/oder mechanisch behan-

delt wird, so daß sie eine niedrige Oberflächenrauheit aufweist, die vorzugsweise etwa 2 nm oder weniger beträgt.

17. Verfahren nach einem der Ansprüche 12 bis 16, **dadurch gekennzeichnet**, **daß** die Verbindungsschicht (2) aus einem Glaswafer durch Reduzierung von dessen Dicke auf etwa 10 bis 50 µm oder aus einer Silikatglas-Schmelze, die vorzugsweise Alkali- oder Borsilikat aufweist, oder durch das Aufputtern einer Glasschicht, vorzugsweise im Bereich von etwa 300 nm bis 2 µm, gebildet wird.



**Fig. 1**

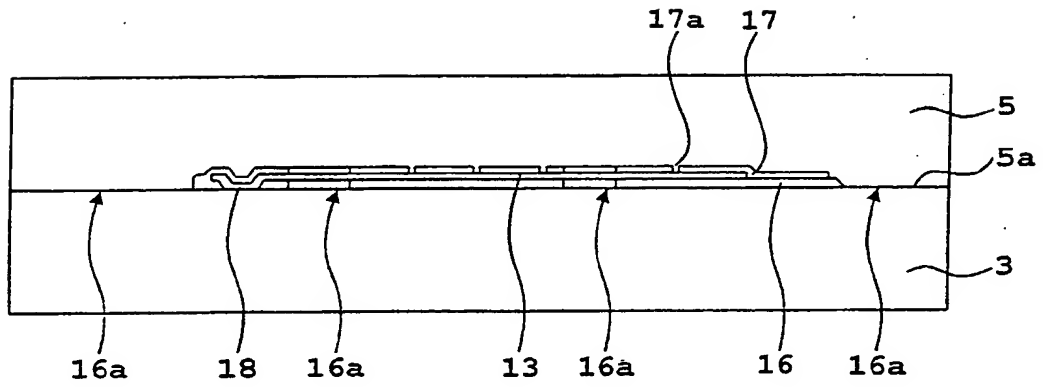


Fig. 2

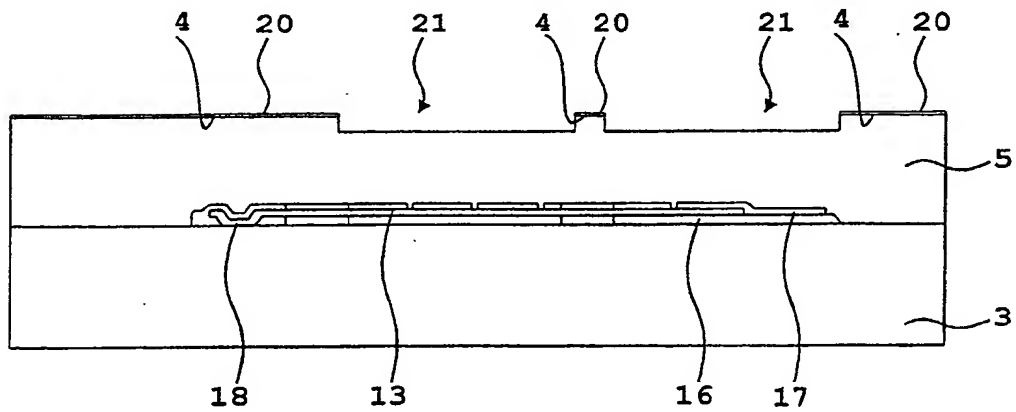


Fig. 3

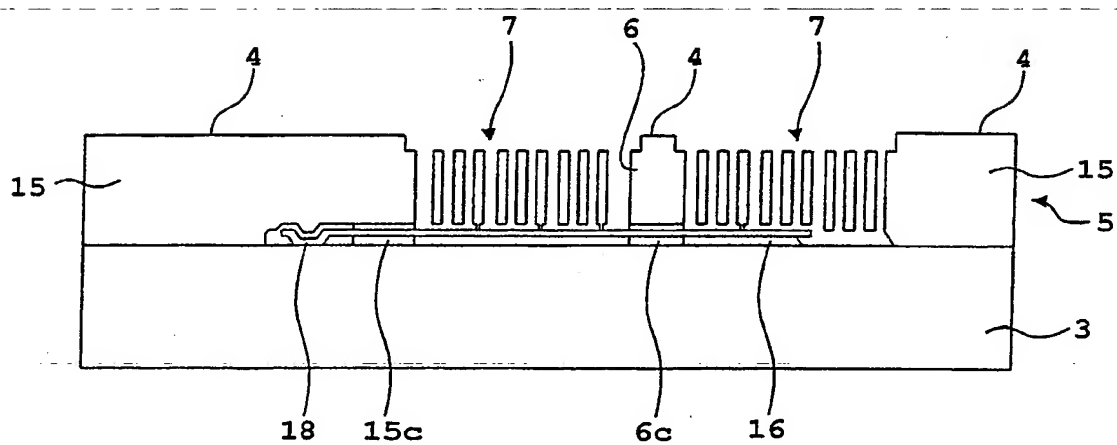
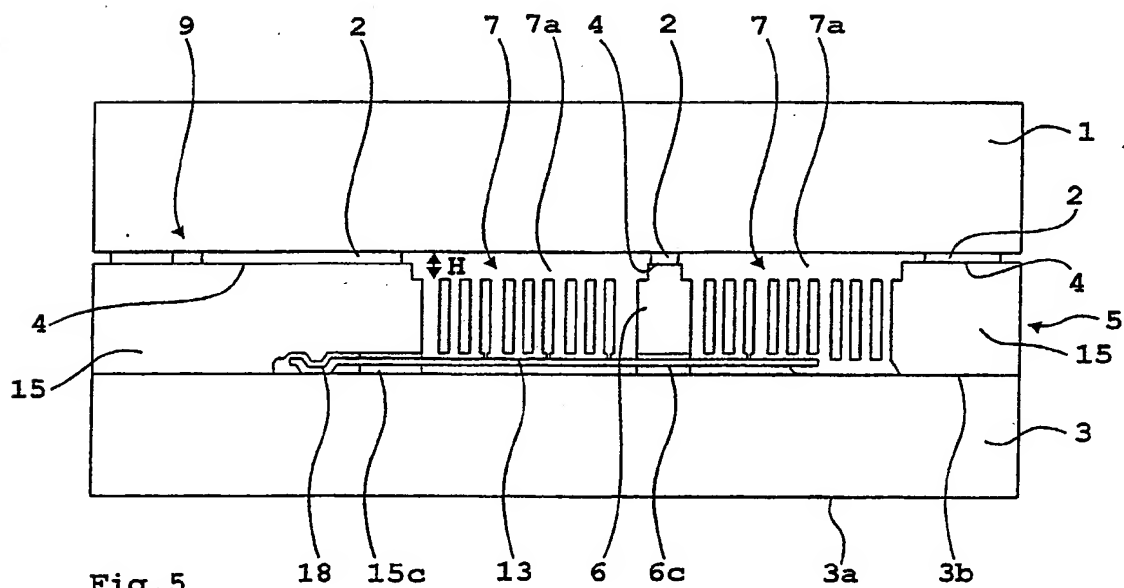


Fig. 4



**Fig. 5**

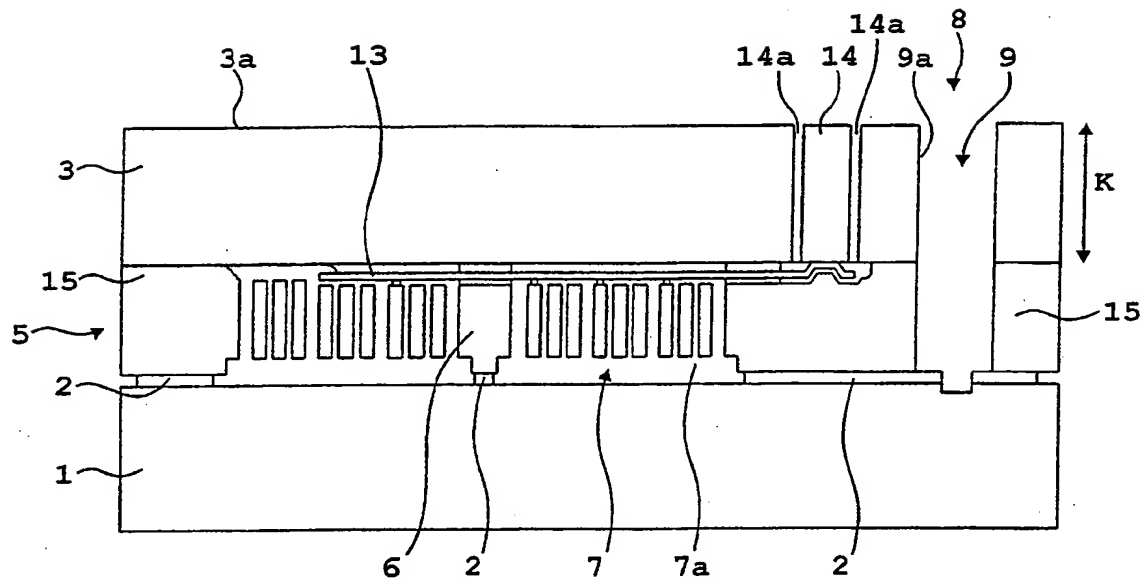


Fig. 6

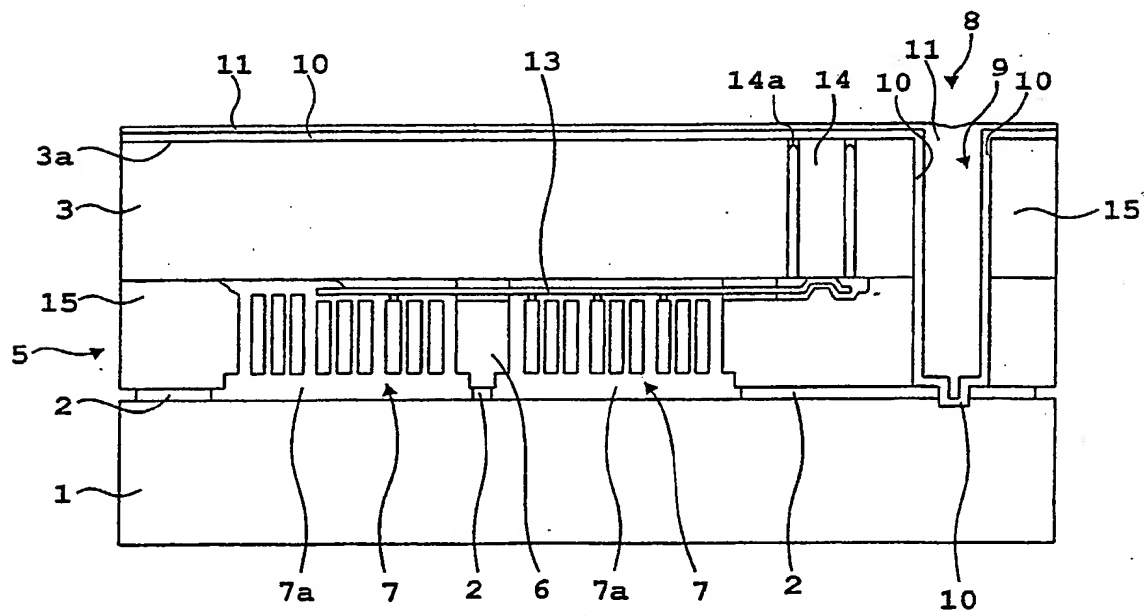


Fig. 7

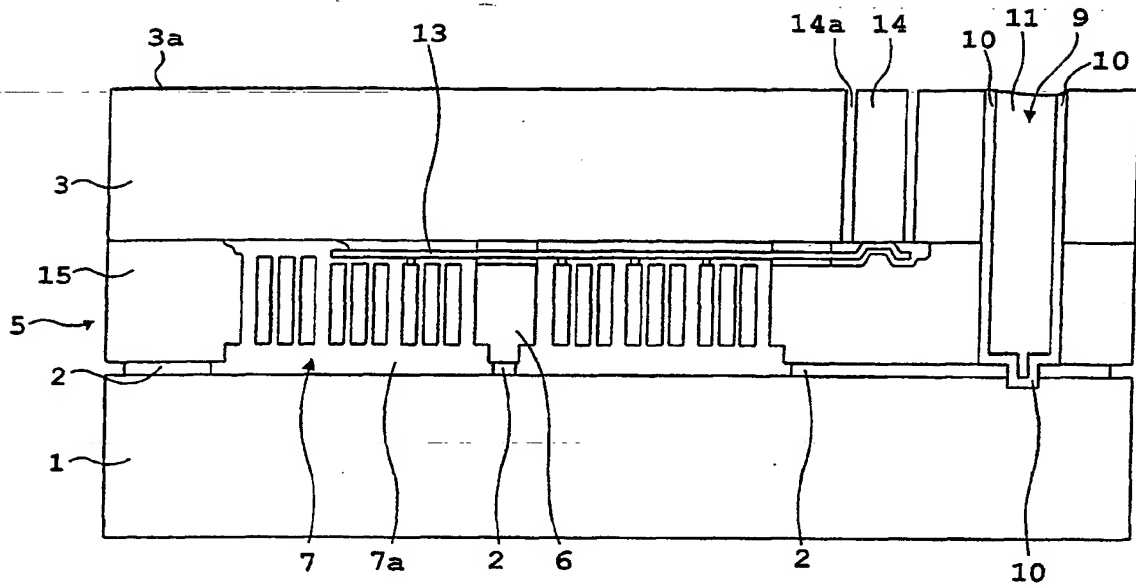


Fig. 8

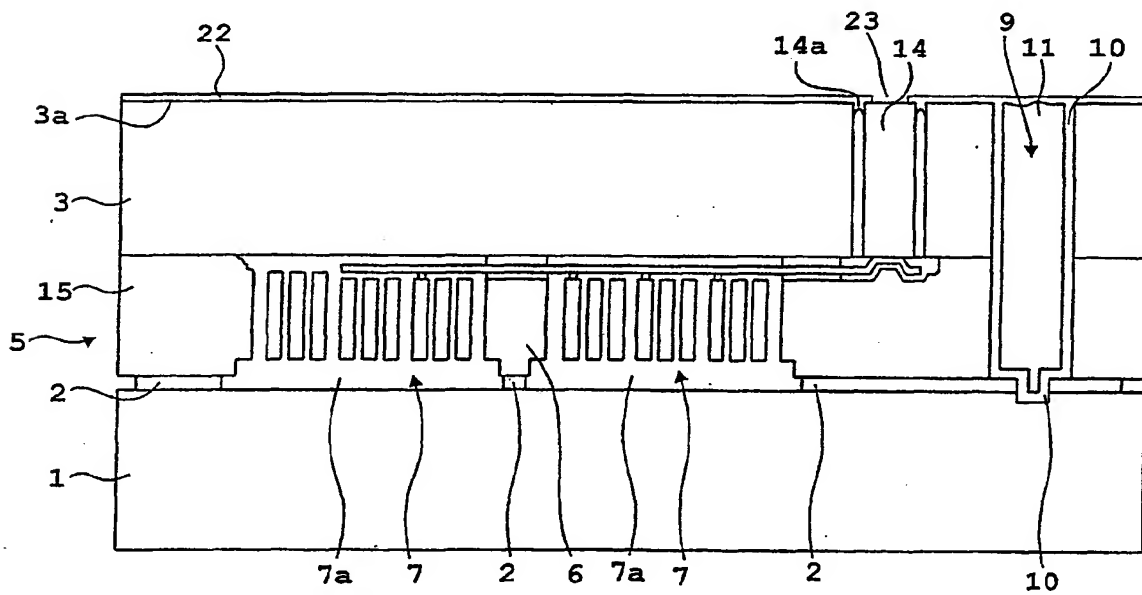


Fig. 9

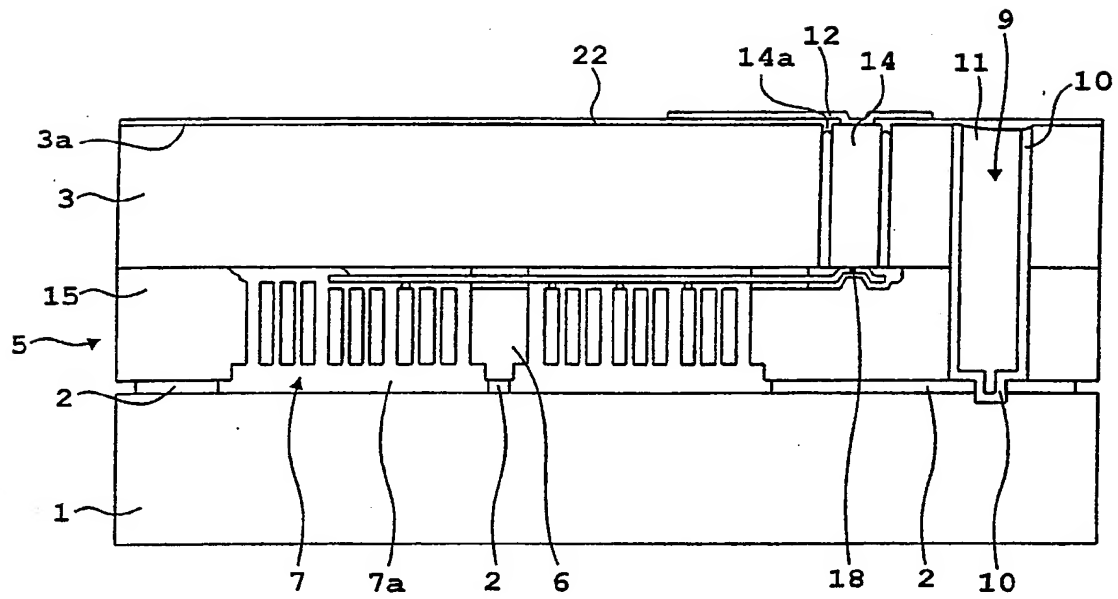


Fig.10





(19)



Europäisches Patentamt

European Patent Office

Office européen des brevets



(11)

EP 1 228 998 A3

(12)

## EUROPÄISCHE PATENTANMELDUNG

(88) Veröffentlichungstag A3:  
16.06.2004 Patentblatt 2004/25

(51) Int Cl.7: **B81B 3/00**, B81C 1/00,  
B81B 7/00

(43) Veröffentlichungstag A2:  
07.08.2002 Patentblatt 2002/32

(21) Anmeldenummer: 01125720.1

(22) Anmeldetag: 27.10.2001

(84) Benannte Vertragsstaaten:  
**AT BE CH CY DE DK ES FI FR GB GR IE IT LI LU**  
**MC NL PT SE TR**  
Benannte Erstreckungsstaaten:  
**AL LT LV MK RO SI**

(72) Erfinder:  
• Fischer, Frank  
72810 Gomaringen (DE)  
• Hein, Peter, Dr.  
72770 Reutlingen (DE)  
• Graf, Eckhard  
72810 Gomaringen (DE)

(30) Priorität: 03.02.2001 DE 10104868

(71) Anmelder: **ROBERT BOSCH GMBH**  
70442 Stuttgart (DE)

(54) **Mikromechanisches Bauelement sowie ein Verfahren zur Herstellung eines mikromechanischen Bauelements**

(57) Die Erfindung geht aus von einem mikromechanischen Bauelement mit einem Substrat, mindestens einer strukturierten Schicht (5), wobei in der strukturierten Schicht (5) mindestens eine Funktionsstruktur (7) gebildet ist, und einer Kappe (1), die die Funktionsstruktur (7) überdeckt, wobei zwischen der Kappe (1) und der Funktionsstruktur (7) mindestens ein Hohlraum (7a) gebildet ist, und eine Verbindungsschicht (2) die Kappe (1) mit der strukturierten Schicht (5) verbindet,

sowie von einem Verfahren zur Herstellung eines mikromechanischen Bauelements nach der Gattung des betreffenden unabhängigen Patentanspruchs.

Um ein kompaktes und solides Bauelement zu erhalten, ist erfindungsgemäß vorgesehen, daß die Verbindungsschicht (2) durch ein anodisch bondbares Glas, d.h. ein Bondglas, gebildet ist, das insbesondere eine Dicke im Bereich von 300 nm bis 100 µm, vorzugsweise im Bereich von 300 nm bis 50 µm, aufweist.

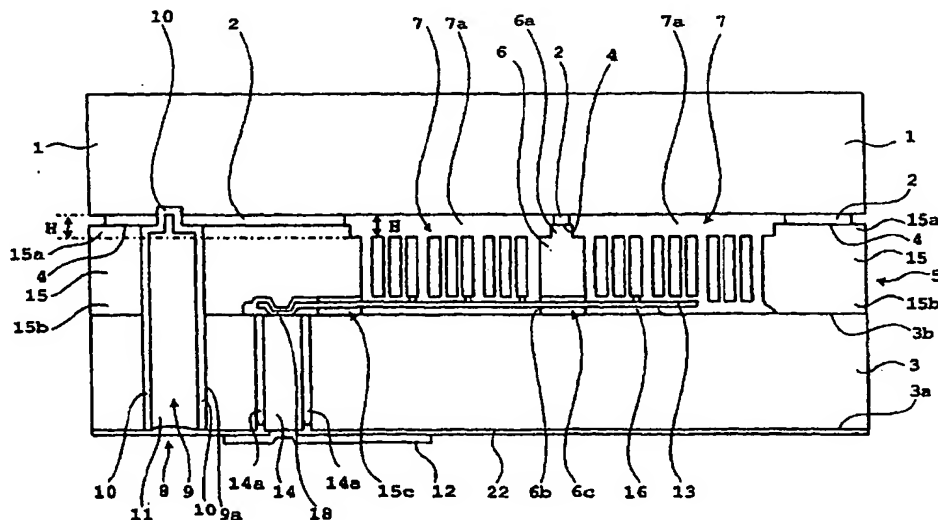


Fig. 1

EP 1 228 998 A3



Europäisches  
Patentamt

## EUROPÄISCHER RECHERCHENBERICHT

Nummer der Anmeldung

EP 01 12 5720

EINSCHLÄGIGE DOKUMENTE			
Kategorie	Kennzeichnung des Dokuments mit Angabe, soweit erforderlich, der maßgeblichen Teile	Betrifft Anspruch	KLASSIFIKATION DER ANMELDUNG (Int.Cl.7)
X	WILNER L B: "A HIGH PERFORMANCE, VARIABLE CAPACITANCE ACCELEROMETER" IEEE TRANSACTIONS ON INSTRUMENTATION AND MEASUREMENT, IEEE INC. NEW YORK, US, Bd. 37, Nr. 4, 1. Dezember 1988 (1988-12-01), Seiten 569-571, XP000118819 ISSN: 0018-9456 * Abbildung 1 * * Absätze '0011!-'0111! *	1,2,5, 11-17	B81B3/00 B81C1/00 B81B7/00
A		3,4,6,7, 10	
X	DE 195 37 814 A (BOSCH GMBH ROBERT) 17. April 1997 (1997-04-17) * Abbildung 8 * * Spalte 2-4 *	1,2,5, 11-17	
Y		3,4,7,10	
A		6	
X	DE 40 06 108 A (BOSCH GMBH ROBERT) 29. August 1991 (1991-08-29) * Spalte 2, Zeile 49 - Spalte 3, Zeile 50 * * Ansprüche 1,3,4,6,8 * * Abbildung 4 *	1,2,5, 11-17	RECHERCHIERTE SACHGEBIETE (Int.Cl.7) B81C B81B
A		3,6,7	
A	DE 39 14 015 A (SIEMENS AG) 31. Oktober 1990 (1990-10-31) *Beschreibung*	1,2, 11-14	
Y	FR 2 763 745 A (SEXTANT AVIONIQUE) 27. November 1998 (1998-11-27) * Abschnitt "Plaque inférieure" * * Abschnitt "Assemblage des trois plaques" * * Abbildungen 1,4A-5E *	3,4,7,10	
-/--			
Der vorliegende Recherchenbericht wurde für alle Patentansprüche erstellt			
Recherchenort BERLIN		Abschlußdatum der Recherche 8. April 2004	Prüfer Meister, M
KATEGORIE DER GENANNTEN DOKUMENTE X : von besonderer Bedeutung allein betrachtet Y : von besonderer Bedeutung in Verbindung mit einer anderen Veröffentlichung derselben Kategorie A : technologischer Hintergrund O : richtschriftliche Offenbarung P : Zwischenliteratur		T : der Erfindung zugrunde liegende Theorien oder Grundsätze E : älteres Patentdokument, das jedoch erst am oder nach dem Anmeldedatum veröffentlicht worden ist O : in der Anmeldung angeführtes Dokument L : aus anderen Gründen angeführtes Dokument & : Mitglied der gleichen Patentfamilie, übereinstimmendes Dokument	

EPO FORM 1503 (03.82) (P/MC03)



Europäisches  
Patentamt

EUROPÄISCHER RECHERCHENBERICHT

Nummer der Anmeldung

EP 01 12 5720

EINSCHLÄGIGE DOKUMENTE			
Kategorie	Kennzeichnung des Dokuments mit Angabe, soweit erforderlich, der maßgeblichen Teile	Betrifft Anspruch	KLASSIFIKATION DER ANMELDUNG (Int.Cl.7)
A	US 5 511 428 A (GOLDBERG HOWARD D ET AL) 30. April 1996 (1996-04-30) * Abstract * * Abbildungen 10A-10E * * Spalte 7-8 * * Spalte 16-17 *	3,4,7	
A	BROSNIHAN T J ET AL: "Embedded interconnect and electrical isolation for high-aspect-ratio, SOI inertial instruments", 1997 INTERNATIONAL CONFERENCE ON SOLID-STATE SENSORS AND ACTUATORS. DIGEST OF TECHNICAL PAPERS. TRANSDUCERS 97. CHICAGO, IL, JUNE 16 - 19, 1997. SESSIONS 1A1 - 2D3. PAPERS NO. 1A1.01 - 2D3.14PL, INTERNATIONAL CONFERENCE ON SOLID-STATE SENSORS AND ACT XP002108481 ISBN: 0-7803-3829-4 * Abschnitt "Introduction and Motivation" * * Isolation and Interconnect Fabrication * * Abbildungen 1-3 *	3,4	
A	SHAW K A ET AL: "SCREAM I: A single mask, single-crystal silicon process for microelectromechanical structures" PROCEEDINGS OF THE WORKSHOP ON MICRO ELECTRO MECHANICAL SYSTEMS (MEMS) FORT LAUDERDALE, FEB. 7 - 10, 1993, NEW YORK, IEEE, US, Bd. WORKSHOP 6, 7. Februar 1993 (1993-02-07), Seiten 155-160, XP010111047 ISBN: 0-7803-0957-X * Abschnitt "Introduction" * * Abschnitt "Mask Design Rules" * * Abbildungen 2,3 *	3,4	
Der vorliegende Recherchenbericht wurde für alle Patentansprüche erstellt			
Rechenort <b>BERLIN</b>		Abschlußdatum der Recherche <b>8. April 2004</b>	Prüfer <b>Meister, M</b>
KATEGORIE DER GENANNTE DOKUMENTE X : von besonderer Bedeutung allein betrachtet Y : von besonderer Bedeutung in Verbindung mit einer anderen Veröffentlichung derselben Kategorie A : technologischer Hintergrund O : nichtschriftliche Offenbarung P : Zwischenliteratur		T : der Erfindung zugrunde liegende Theorien oder Grundsätze E : älteres Patentdokument, das jedoch erst am oder nach dem Anmeldedatum veröffentlicht worden ist D : in der Anmeldung angeführtes Dokument L : aus anderen Gründen angeführtes Dokument & : Mitglied der gleichen Patentfamilie, übereinstimmendes Dokument	

EPO FORM 1503 03.82 (P04/0203)



Europäisches  
Patentamt

Nummer der Anmeldung

EP 01 12 5720

### GEBÜHRENPFLICHTIGE PATENTANSPRÜCHE

Die vorliegende europäische Patentanmeldung enthielt bei ihrer Einreichung mehr als zehn Patentansprüche.

- ☐ Nur ein Teil der Anspruchsgebühren wurde innerhalb der vorgeschriebenen Frist entrichtet. Der vorliegende europäische Recherchenbericht wurde für die ersten zehn sowie für jene Patentansprüche erstellt, für die Anspruchsgebühren entrichtet wurden, nämlich Patentansprüche:
- ☐ Keine der Anspruchsgebühren wurde innerhalb der vorgeschriebenen Frist entrichtet. Der vorliegende europäische Recherchenbericht wurde für die ersten zehn Patentansprüche erstellt.

### MANGELNDE EINHEITLICHKEIT DER ERFINDUNG

Nach Auffassung der Recherchenabteilung entspricht die vorliegende europäische Patentanmeldung nicht den Anforderungen an die Einheitlichkeit der Erfindung und enthält mehrere Erfindungen oder Gruppen von Erfindungen, nämlich:

Siehe Ergänzungsblatt B

- ☐ Alle weiteren Recherchegebühren wurden innerhalb der gesetzten Frist entrichtet. Der vorliegende europäische Recherchenbericht wurde für alle Patentansprüche erstellt.
- ☐ Da für alle recherchierbaren Ansprüche die Recherche ohne einen Arbeitsaufwand durchgeführt werden konnte, der eine zusätzliche Recherchegebühr gerechtfertigt hätte, hat die Recherchenabteilung nicht zur Zahlung einer solchen Gebühr aufgefordert.
- ☒ Nur ein Teil der weiteren Recherchegebühren wurde innerhalb der gesetzten Frist entrichtet. Der vorliegende europäische Recherchenbericht wurde für die Teile der Anmeldung erstellt, die sich auf Erfindungen beziehen, für die Recherchegebühren entrichtet worden sind, nämlich Patentansprüche:  
3, 4, 7, 10
- ☐ Keine der weiteren Recherchegebühren wurde innerhalb der gesetzten Frist entrichtet. Der vorliegende europäische Recherchenbericht wurde für die Teile der Anmeldung erstellt, die sich auf die zuerst in den Patentansprüchen erwähnte Erfindung beziehen, nämlich Patentansprüche:



Europäisches  
Patentamt

**MANGELNDE EINHEITLICHKEIT  
DER ERFINDUNG  
ERGÄNZUNGSBLATT B**

Nummer der Anmeldung

EP 01 12 5720

Nach Auffassung der Recherchenabteilung entspricht die vorliegende europäische Patentanmeldung nicht den Anforderungen an die Einheitlichkeit der Erfindung und enthält mehrere Erfindungen oder Gruppen von Erfindungen, nämlich:

**1. Ansprüche: 1,2,5,6,11-17**

Mikromechanisches Bauelement und dessen Herstellungsverfahren, das ein Substrat, eine Funktionsstruktur und eine Kappe enthält, die an die Funktionsstruktur durch eine Glasschicht anodisch gebunden ist.

**2. Ansprüche: 3,4,7,10**

Mikromechanisches Bauelement, das ein Substrat, eine Funktionsstruktur und eine Kappe enthält, wobei das Substrat einen Anschlussbereich zur externen Kontaktierung der Funktionsstruktur besitzt, der durch einen durch Gräben gebildeten Isolationsrahmen gegenüber dem Substrat elektrisch isoliert ist.

**3. Ansprüche: 8,9**

Mikromechanisches Bauelement, mit einem Substrat und einer strukturierten Schicht, die zumindest auf einem Teil des Substrats vorgesehen ist und zumindest teilweise von wenigstens einer Kappe überdeckt ist, wobei zwischen der Kappe und dem Substrat eine leitende Verbindung vorgesehen ist, die sich durch die strukturierte Schicht hindurch erstreckt.

**ANHANG ZUM EUROPÄISCHEN RECHERCHENBERICHT  
 ÜBER DIE EUROPÄISCHE PATENTANMELDUNG NR.**

EP 01 12 5720

In diesem Anhang sind die Mitglieder der Patentfamilien der im obengenannten europäischen Recherchenbericht angeführten Patentedokumente angegeben.

Die Angaben über die Familienmitglieder entsprechen dem Stand der Datei des Europäischen Patentamts am  
 Diese Angaben dienen nur zur Unterrichtung und erfolgen ohne Gewähr.

08-04-2004

Im Recherchenbericht angeführtes Patentedokument	Datum der Veröffentlichung	Mitglied(er) der Patentfamilie	Datum der Veröffentlichung
DE 19537814 A	17-04-1997	DE 19537814 A1	17-04-1997
		JP 9129898 A	16-05-1997
		US 6030850 A	29-02-2000
		US 5756901 A	26-05-1998
DE 4006108 A	29-08-1991	DE 4006108 A1	29-08-1991
		WO 9113470 A1	05-09-1991
DE 3914015 A	31-10-1990	DE 3914015 A1	31-10-1990
FR 2763745 A	27-11-1998	FR 2763745 A1	27-11-1998
		DE 69803377 D1	28-02-2002
		DE 69803377 T2	26-09-2002
		EP 0983609 A1	08-03-2000
		WO 9853483 A1	26-11-1998
		NO 995731 A	21-01-2000
		US 6251698 B1	26-06-2001
US 5511428 A	30-04-1996	KEINE	

EPO FORM P0461

Für nähere Einzelheiten zu diesem Anhang : siehe Amtsblatt des Europäischen Patentamts, Nr.12/82